

УДК 539.2

©1995

**ВЛИЯНИЕ МУЛЬТИПОЛЬНЫХ ПОПРАВОК
НА ОРИЕНТАЦИОННЫЕ СОСТОЯНИЯ
ПОЛЯРНЫХ МОЛЕКУЛ, АДСОРБИРОВАННЫХ
НА КРИСТАЛЛИЧЕСКИХ ПОДЛОЖКАХ**

B.E.Клименко, B.M.Розенбаум

Отдел теплофизики Академии наук Узбекистана,
700135, Ташкент, Узбекистан

(Поступила в Редакцию 9 декабря 1994 г.)

Для произвольно ориентированных линейных полярных молекул, адсорбированных в узлах двумерной решетки Браве, получено мультипольное разложение энергий кулоновских взаимодействий. Тензоры мультипольных взаимодействий выражаются через экспоненциально сходящиеся ряды цепочечного представления. Рассчитаны значения компонент этих тензоров для треугольной и квадратной решеток. Показано, что высшие мультипольные взаимодействия снимают вырождение ферроэлектрического основного состояния диполей на треугольной решетке и вихревого антиферроэлектрического основного состояния диполей на квадратной решетке, причем в последнем случае происходит стабилизация дальнего ориентационного порядка.

Кулоновские взаимодействия молекул, адсорбированных на поверхности твердого тела, ответственны за формирование возникающих двумерных структур, а также определяют характер колебательных и электронных спектров, с помощью которых эти структуры могут быть зафиксированы в экспериментах [1–3]. Особый интерес представляют ансамбли полярных молекул с поворотной степенью свободы, в которых могут происходить ориентационные фазовые переходы [4–6]. Для таких систем основной вклад в латеральные взаимодействия можно получить в диполь–дипольном приближении. Разработанная в [4–8] теория двумерных дипольных систем, использующая эффективный аналитический метод расчета диполь–дипольных взаимодействий (цепочечное представление), позволило классифицировать основные состояния (состояния при нулевой температуре) для произвольных решеток Браве, найти важнейшие характеристики ориентационных фазовых переходов и колебательных спектров.

Тем не менее для ряда систем и анализа некоторых тонких эффектов необходим выход за рамки диполь–дипольного приближения. Прежде всего это относится к плотным системам, для которых характерный малый параметр диполь–дипольного приближения $\xi = l/a$ (отношение молекулярного размера l к межмолекулярному расстоянию a) уже не может считаться достаточно малым. Однако наиболее существен учет

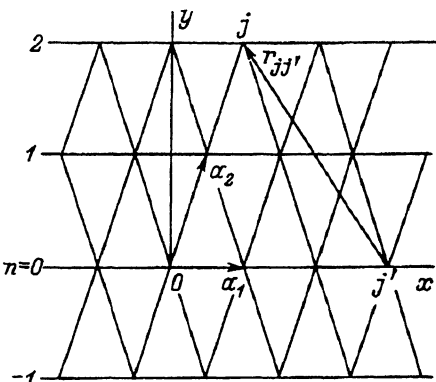


Рис. 1. Выбор координатных осей и цепочек узлов на двумерной решетке Браве.

мультипольных поправок при описании состояний, которые в диполь-дипольном приближении оставались вырожденными [9].

В данной статье мы покажем, что если ограничиться классом линейных полярных молекул, то эффективные методы расчетов дипольных решеточных сумм могут быть с успехом распространены и на высшие мультипольные поправки. Нахождение последних позволит разобраться в ряде вопросов, актуальных для теории двумерных дипольных систем.

Рассмотрим двумерную решетку Браве с элементарной ячейкой, задаваемой основными векторами \mathbf{a}_1 и \mathbf{a}_2 (рис. 1). Будем считать, что в узлах этой решетки фиксированы одинаковые атомы линейных полярных молекул, характеризуемых дипольными моментами $\mu = ql$ (q — эффективный заряд). Их ориентации относительно узлов решетки могут быть произвольными и описываются единичными векторами \mathbf{e}_j (j — номер узла). Параметр мультипольного разложения определим отношением $\xi = l/a_1$. Измеряя межузельные расстояния $r_{jj'}$ в единицах a_1 , приходим к следующему компактному мультипольному представлению кулоновской энергии системы, содержащей N молекул:

$$H = \frac{1}{2} N \frac{\mu^2}{a_1^3} \sum_{p=2}^{\infty} H_p \xi^{p-2}, \quad (1)$$

$$H_p = \frac{1}{N} \sum_{j \neq j'} D_{(\mathbf{r}_{jj'})}^{\alpha_1 \dots \alpha_p} \sum_{m=1}^{p-1} \frac{(-1)^{m+1}}{m!(p-m)!} e_j^{\alpha_1} \dots e_j^{\alpha_m} e_{j'}^{\alpha_{m+1}} \dots e_{j'}^{\alpha_p}, \quad (2)$$

где

$$D_{(\mathbf{r})}^{\alpha_1 \dots \alpha_p} = - \lim_{|\mathbf{R}| \rightarrow 0} \frac{\partial^p}{\partial R^{\alpha_1} \dots \partial R^{\alpha_p}} \frac{1}{|\mathbf{R} - \mathbf{r}|} \quad (3)$$

— тензор мультипольных взаимодействий, симметричный по своим индексам и удовлетворяющий тождествам

$$D_{(\mathbf{r})}^{\alpha \alpha \alpha_3 \dots \alpha_p} = 0, \quad D_{(-\mathbf{r})}^{\alpha_1 \dots \alpha_p} = (-1)^p D_{(\mathbf{r})}^{\alpha_1 \dots \alpha_p}. \quad (4)$$

Здесь и далее под дважды повторяющимся греческим индексом декартовых осей координат подразумевается суммирование.

Важной характеристикой кулоновских взаимодействий на решетке является фурье-компоненты тензора мультипольного взаимодействия

$$\tilde{D}_{(\mathbf{k})}^{\alpha_1 \dots \alpha_p} = \sum_{j'} D_{(\mathbf{r}_{jj'})}^{\alpha_1 \dots \alpha_p} \exp(-i\mathbf{k}\mathbf{r}_{jj'}), \quad (5)$$

которая эффективно рассчитывается в цепочечном представлении. Преимущество этого представления состоит в том, что взаимодействия цепочек молекул (нумеруемых n на рис. 1), ориентированных вдоль осей цепочек, экспоненциально быстро спадают с увеличением межцепочечного расстояния a_{2y}

$$\begin{aligned} \tilde{D}_{(k_y)}^{x \dots x} &= \overbrace{\tilde{D}_{(k_y)}^{x \dots x}}^p = -2p! \zeta(p+1) - \\ &- (-1)^{p/2} 8(2\pi)^p \sum_{n,h=1}^{\infty} h^p K_0(2\pi a_{2y} nh) \cos(2\pi a_{2x} nh) \cos(k_y a_{2y} n). \end{aligned} \quad (6)$$

Здесь $\zeta(p)$ — дзета-функция Римана, описывающая вклад внутрицепочных взаимодействий, $K_0(z)$ — функция Макдональда, обеспечивающая экспоненциальное убывание, p — четное число. Аналогичный, но более громоздкий вид имеют другие компоненты тензора и случай $k_x \neq 0$. Их отличие от (6) состоит в появлении дополнительных слагаемых, которые описывают межцепочечное взаимодействие, убывающее по степенному закону. Другим выбором системы координат, например заменой осей $x \leftrightarrow y$ на рис. 1, можно получить из формулы (6) компоненту $\tilde{D}_{(k_x)}^{y \dots y}$ (при этом надо помнить, что все линейные размеры в (1)–(6) измеряются в единицах a_1).

В случае ферроэлектрической структуры ориентаций дипольных моментов ($\mathbf{e}_j = \mathbf{e}$ при любых j) соотношение (2) упрощается и непосредственно выражается через фурье-компоненту (5) с $\mathbf{k} = 0$

$$H_p = \frac{2}{p!} \tilde{D}_{(0)}^{\alpha_1 \dots \alpha_p} e^{\alpha_1} \dots e^{\alpha_p}. \quad (7)$$

Такая ферроэлектрическая структура реализуется на треугольной решетке и в диполь-дипольном приближении характеризуется однопараметрическим вырождением по угловой переменной φ , задающей ориентации вектора $\mathbf{e} = (\cos \varphi, \sin \varphi, 0)$ [10]. Анализ симметрии тензоров мультипольных взаимодействий на треугольной решетке и цепочечное представление (6) приводит к следующим выражениям:

$$\begin{aligned} H_2 &= \tilde{D}_{(0)}^{xx} = \tilde{D}_{(0)}^{yy}, & H_4 &= \frac{1}{12} \tilde{D}_{(0)}^{xxxx} = \frac{1}{12} \tilde{D}_{(0)}^{yyyy} = \frac{1}{3} \tilde{D}_{(0)}^{xxyy}, \\ H_6 &= \frac{1}{360} \left\{ \tilde{D}_{(0)}^{xxxxxx} + \left[\tilde{D}_{(0)}^{yyyyyy} - \tilde{D}_{(0)}^{xxxxxx} \right] \sin^2 3\varphi \right\}, \end{aligned} \quad (8)$$

где

$$\tilde{D}_{(0)}^{xxxxyy} = -\frac{2}{5} \tilde{D}_{(0)}^{xxxxxx} + \frac{3}{5} \tilde{D}_{(0)}^{yyyyyy},$$

$$\tilde{D}_{(0)}^{xxxxyy} = \frac{3}{5} \tilde{D}_{(0)}^{xxxxxx} - \frac{2}{5} \tilde{D}_{(0)}^{yyyyyy},$$

(неуказанные компоненты с $\alpha = x, y$ равны нулю);

$$H = \frac{1}{2} N \frac{\mu^2}{a^3} [-5.517088 - 1.9018\xi^2 + (-6.548 + 10.675 \sin^2 3\varphi)\xi^4]. \quad (9)$$

Видно, что упомянутое вырождение снимается шестиямным потенциалом, обусловленным мультипольными поправками порядка ξ^4 . Для параметров $\mu^2/a^3 \sim 20 \text{ meV}$ ($\mu \sim 2D$, $a \sim 5 \text{ \AA}$), $\xi \sim 0.2$ ($l \sim 1 \text{ \AA}$), соответствующих треугольной решетке групп OH на поверхности SiO₂ [5,6], амплитуда шестиямного потенциала ΔU_6 составляет $\sim 5 \text{ meV}$, а частота ориентационных колебаний по углу φ групп OH с моментом инерции $I \approx 1.5 \cdot 10^{-40} \text{ g}\cdot\text{cm}^2$ оценивается $\omega_{\text{or}} \sim 30 \text{ cm}^{-1}$. Эти значения на порядок меньше величины барьера переориентаций $\Delta U_B \sim 50 \text{ meV}$ в трехъядном потенциале, обусловленном взаимодействиями с ближайшими к группе OH атомами подложки, и частоты наблюдалемого колебания $\omega_{\text{or}} \sim 100 \text{ cm}^{-1}$. Таким образом, высшие мультипольные поправки вносят небольшой вклад в формирование локального потенциала.

Для треугольной решетки диполей вырожденное основное состояние устойчиво относительно термодинамических флуктуаций [7] и высшие мультипольные поправки приводят только к снятию вырождения, не изменяя дальнего ориентационного порядка в системе. Для квадратной решетки диполей основное антиферроэлектрическое состояние вихревого типа [10,11] (рис. 2)

$$\mathbf{e}_r = \left((-1)^{\mathbf{b}_2 \mathbf{r} / 2\pi} \cos \varphi, (-1)^{\mathbf{b}_1 \mathbf{r} / 2\pi} \sin \varphi, 0 \right) \quad (10)$$

(\mathbf{b}_1 и \mathbf{b}_2 — векторы обратной решетки) также однопараметрически вырождено по угловой переменной φ , однако оно неустойчиво относительно термодинамических флуктуаций, и при низких температурах реализуется фаза Березинского-Костерлица-Таулесса с ближним порядком [7]. В [9] показано, что квадруполь-квадрупольные взаимодействия (и другие мультипольные взаимодействия того же порядка ξ^2)

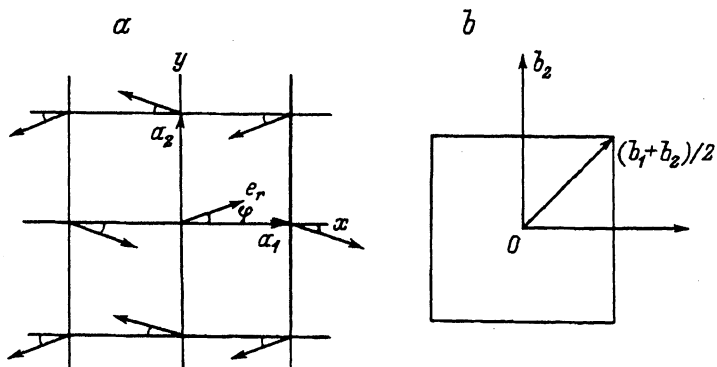


Рис. 2. Антиферроэлектрическая вихревая структура диполей на квадратной решетке (a) и соответствующие ей симметричные точки первой зоны Бриллюэна (b).

Значения фурье-компонент тензоров мультипольных взаимодействий на квадратной решетке в симметричных точках первой зоны Бриллюэна (точность представленных значений составляет $3 \cdot 10^{-6}$)

Компонента $\tilde{D}_{(\mathbf{k})}^{\alpha_1 \dots \alpha_p}$	Значение волнового вектора \mathbf{k}			
	0	$\mathbf{b}_1/2$	$\mathbf{b}_2/2$	$(\mathbf{b}_1 + \mathbf{b}_2)/2$
$\tilde{D}_{(\mathbf{k})}^{xx}$	-4.516811	6.034335	-5.098873	1.322943
$\tilde{D}_{(\mathbf{k})}^{yy}$	-4.516811	-5.098873	6.034335	1.322943
$\tilde{D}_{(\mathbf{k})}^{zz}$	9.033622	-0.935462	-0.935462	-2.645886
$\tilde{D}_{(\mathbf{k})}^{xxxx}$	-61.461608	20.849080	-38.113905	71.043733
$\tilde{D}_{(\mathbf{k})}^{yyyy}$	-61.461608	-38.113905	20.849080	71.043733
$\tilde{D}_{(\mathbf{k})}^{xxyy}$	38.555448	11.250053	11.250053	-56.236123
$\tilde{D}_{(\mathbf{k})}^{zzzz}$	-45.812320	5.235281	5.235281	29.615220
$\tilde{D}_{(\mathbf{k})}^{zzxx}$	22.906160	-32.099133	26.863852	-14.807610
$\tilde{D}_{(\mathbf{k})}^{zzyy}$	22.906160	26.863852	-32.099133	-14.807610

снимают указанное вырождение, разрушая голдстоуновскую моду в спектре ориентационных колебаний, и тем самым стабилизируют дальний ориентационный порядок. Учет дальнодействия в [9] проводился в рамках метода Латтинжера–Тиссы. Здесь же мы воспользуемся общим разложением (1), (2) по тензорам мультипольных взаимодействий (3), (5). Подставляя (10) в (2) и проводя суммирование по узлам решетки, получаем

$$H = \frac{1}{2} N \frac{\mu^2}{a^3} \left[\tilde{D}_{(\mathbf{b}_2/2)}^{xx} + (b + c \sin^2 2\varphi) \xi^2 \right],$$

$$b = -\frac{1}{4} \tilde{D}_{(0)}^{xxxx} + \frac{1}{3} \tilde{D}_{(\mathbf{b}_2/2)}^{xxxx} = 2.660767,$$

$$c = -\frac{1}{8} \tilde{D}_{(0)}^{xxyy} - \frac{1}{4} \tilde{D}_{((\mathbf{b}_1+\mathbf{b}_2)/2)}^{xxyy} + \frac{1}{2} \tilde{D}_{(\mathbf{b}_2/2)}^{xxyy} + \frac{1}{2} b = 13.534243. \quad (11)$$

Численные значения тензоров представлены в таблице. Для их нахождения использовалось цепочечное представление (6), первое тождество в (4) и следующие, установленные в [12] свойства симметрии:

$$\tilde{D}_{((\mathbf{b}_1+\mathbf{b}_2)/2)}^{xx} = \left(2^{-1/2} - 1\right) \tilde{D}_{(0)}^{xx}, \quad \tilde{D}_{(\mathbf{b}_1/2)}^{xx} = 2^{-1} \left(1 - 2^{1/2}\right) \tilde{D}_{(0)}^{xx} - \tilde{D}_{(\mathbf{b}_2/2)}^{xx},$$

$$\tilde{D}_{((\mathbf{b}_1+\mathbf{b}_2)/2)}^{\alpha_1 \dots \alpha_4} = -\frac{7}{8} \tilde{D}_{(0)}^{\alpha_1 \dots \alpha_4} - \tilde{D}_{(\mathbf{b}_1/2)}^{\alpha_1 \dots \alpha_4} - \tilde{D}_{(\mathbf{b}_2/2)}^{\alpha_1 \dots \alpha_4}. \quad (12)$$

Обсудим физические следствия, вытекающие из угловой зависимости $H(\varphi)$ (11). Минимальные значения $H(\varphi)$ соответствуют $\varphi = \pi s/2$ (s — целое число), когда диполи коллинеарны одной из осей квадратной решетки. Именно такая структура проекций дипольных моментов на плоскость решетки наблюдалась в системе Co/NaCl (100) [13]. Низкотемпературные ($k_B T \ll \mu^2/a^3$) угловые флуктуации молекул с

моментами инерции I определяются законом дисперсии $\omega^2(\mathbf{k})$ ориентационных колебаний вблизи основного состояния

$$\langle \varphi_j^2 \rangle \approx \left(\frac{a}{2\pi} \right)^2 \frac{k_B T}{I} \int \frac{d\mathbf{k}}{\omega^2(\mathbf{k})}. \quad (13)$$

В рамках диполь-дипольного приближения $\omega(\mathbf{b}_1/2) = \omega(\mathbf{b}_2/2) = 0$, при чём $\omega^2(\mathbf{k})$ пропорционально второй степени смещений волнового вектора \mathbf{k} от этих симметричных граничных точек первой зоны Бриллюэна. За счёт этого флуктуации $\langle \varphi_j^2 \rangle$ расходятся по логарифмическому закону, дальний ориентационный порядок отсутствует, а низкотемпературное состояние соответствует фазе Березинского-Костерлица-Таулесса [7]. Мультипольные поправки порядка ξ^2 в (11) снимают вырождение основного состояния и разрушают голдстоуновскую моду $\omega(\mathbf{k})$, поскольку теперь минимальная частота угловых колебаний

$$\omega_{\min} = \left[H''_{(\varphi)} / I \right]_{\varphi=\pi s/2}^{1/2} = 2\mu\xi(c/Ia^3)^{1/2} \quad (14)$$

не равна нулю. Интеграл в (13) принимает ограниченное значение, так что дальний ориентационный порядок стабилизируется и в данной системе.

Эта работа была поддержанна грантом Фонда Дж. Сороса, присужденным Американским физическим обществом, а также Фондом фундаментальных исследований ГКНТ Украины.

Список литературы

- [1] Люксютов И.Ф., Наумовец А.Г., Покровский В.Л. Двумерные кристаллы. Киев (1988). 219 с.
- [2] Браун О.М., Медведев В.К. УФН **157**, 4, 631 (1989).
- [3] Браун О.М., Волокитин А.И., Жданов В.П. УФН **158**, 3, 421 (1989).
- [4] Огенко В.М., Розенбаум В.М. ТЭХ **17**, 1 66, (1981).
- [5] Огенко В.М., Розенбаум В.М., Чуйко А.А. Теория колебаний и переориентаций поверхностных групп атомов. Киев (1991). 352 с.
- [6] Розенбаум В.М., Огенко В.М., Чуйко А.А. УФН **161**, 10, 79 (1991).
- [7] Malozovsky Yu.M., Rozenbaum V.M. Physica A **175**, 1, 127 (1991).
- [8] Розенбаум В.М. ЖЭТФ **99**, 6, 1836 (1991).
- [9] Klymenko V.E., Rozenbaum V.M., Kukhtin V.V., Shramko O.B. Solid State Commun. **88**, 5, 373 (1993).
- [10] Розенбаум В.М., Огенко В.М. ФТТ **26**, 5, 1448 (1984).
- [11] Белобров П.И., Гехт Р.С., Игнатченко В.А. ЖЭТФ **84**, 3, 1097 (1983).
- [12] Розенбаум В.М. Письма в ЖЭТФ **59**, 3, 163 (1994).
- [13] Heidberg J., Kampshoff E., Kühnemuth R. Surf. Sci. **269/270**, 1, 128 (1992).